

ГИ Н С Т И Т У Т
ЯДЕРНОЙ ФИЗИКИ СОАН СССР

И Я Ф 54 - 70

2
В.С.Григорьев, В.Я.Чудаев

ИССЛЕДОВАНИЕ ВОЗМОЖНОСТЕЙ ПРИМЕНЕНИЯ
ТЕРМОЛЮМИНЕСЦЕНТНЫХ ДОЗИМЕТРОВ ТДП - 2
НА ОСНОВЕ ФТОРИСТОГО лития для целей
ДОЗИМЕТРИЧЕСКОГО КОНТРОЛЯ

Новосибирск

1970

В.С.Григорьев, В.Я.Чудаев

ИССЛЕДОВАНИЕ ВОЗМОЖНОСТЕЙ ПРИМЕНЕНИЯ ТЕРМО-
ЛЮМИНЕСЦЕНТНЫХ ДОЗИМЕТРОВ ТДП-2 НА ОСНОВЕ
ФТОРИСТОГО ЛИТИЯ ДЛЯ ЦЕЛЕЙ ДОЗИМЕТРИЧЕСКОГО
КОНТРОЛЯ

А Н Н О Т А Ц И Я

В работе сделаны теоретические и экспериментальные оценки энергетической зависимости показаний термoluminescentных дозиметров ТДП-2 в диапазоне 10-60 кэв, получены экспериментальные данные о спадании светосуммы в зависимости от температуры и времени хранения дозиметров после облучения и некоторые сведения об угловой зависимости чувствительности дозиметров. Приведены данные о сечениях взаимодействия гамма-квантов с фтористым литием. Описаны результаты применения дозиметров ТДП-2 для индивидуального контроля и даны некоторые практические рекомендации по их использованию.

БИБЛИОТЕКА
Института ядерной
физики СО АН СССР
ИНВ. №

Нами исследовались термolumинесцентные дозиметры на основе фтористого лития ТДП-2 /1/ разработки Сибирского научно-исследовательского института метрологии. Устройство дозиметра ТДП-2 схематически показано на рис.1. Для теоретической оценки энергетической зависимости показаний дозиметра необходимо иметь данные по коэффициентам ослабления и поглощения энергии для фтористого лития и по коэффициентам ослабления эбонитовой оболочки. В таблице 1 приведены коэффициенты для фтористого лития, рассчитанные на основе результатов Ш.Дейвиссон, приведенных в /2/. Поскольку Дейвиссон не приводит непосредственно данных для лития и фтора, то все сечения взаимодействия были получены с помощью численной или графической интерполяции с использованием данных для соседних элементов. Точность интерполяции около 5%. Коэффициент поглощения энергии рассчитывался по формуле:

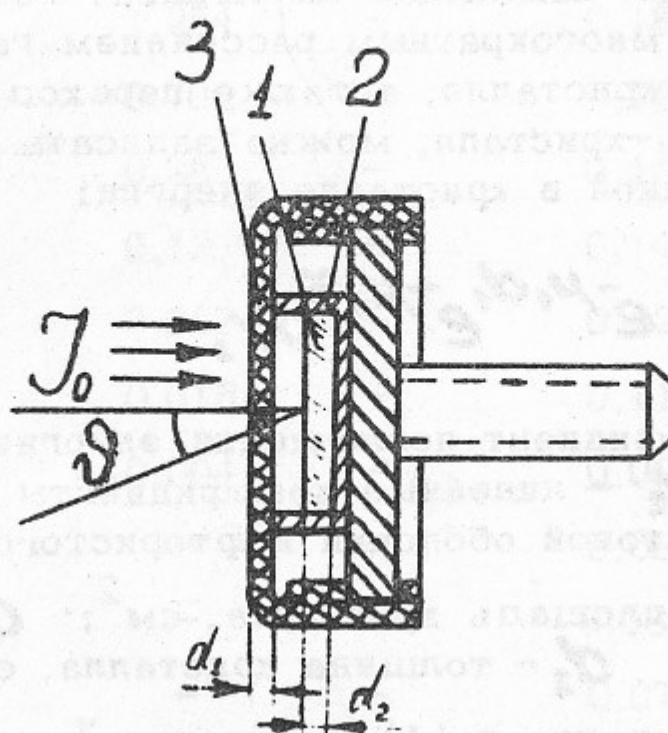


Рис.1. Схематическое устройство дозиметра ТДП-2.

- 1 - кристалл фтористого лития размером $8 \times 8 \times 1 \text{ мм}^3$;
- 2 - медная хромированная подложка кристалла толщиной 0,2 мм;
- 3 - эbonитовая оболочка толщиной $d_1 = 1 \text{ мм}$;
- 4 - θ - угол падения квантов.

$$\gamma = \mu_f + \mu_K \frac{\bar{E}_{ke}}{E_r} + \mu_n \left(1 - \frac{2mc^2}{E_r}\right),$$

где μ_f - коэффициент фотопоглощения, см⁻¹/г; μ_K - коэффициент комптоновского рассеяния, см⁻²/г; μ_n - коэффициент об разования пар, см⁻²/г, E_r - энергия гамма-квантов; \bar{E}_{ke} - средняя кинетическая энергия комптоновских электронов отдачи; mc^2 - энергия покоя электронов.

Поскольку эбонит не имеет строго определенного химического состава, то при расчётах коэффициентов ослабления его состав с некоторой степенью произвола принимался следующим (в весовых %): углерода - 61,8; водорода - 8,2; серы - 30.

Для оценки энергетической зависимости показаний дозиметров рассчитаем величину поглощенной энергии в кристалле для случая нормального падения гамма-квантов ($\vartheta = 0$, рис.1). Если I_0 есть энергия излучения, падающая на единицу поверхности дозиметра, то пренебрегая многократным рассеянием гамма-квантов в эбонитовой оболочке и кристалле, а также переходными эффектами на границе оболочка-кристалл, можно записать следующее выражение для поглощенной в кристалле энергии:

$$\Delta E \approx S \int_0^{d_2} \gamma_2 I_0 e^{-\mu_1 d_1} e^{-\mu_2 x} dx, \quad (1)$$

где γ_2 - линейный коэффициент поглощения энергии для фтористого лития, см⁻¹; μ_1, μ_2 - линейные коэффициенты ослабления гамма-квантов для эбонитовой оболочки и фтористого лития соответственно, см⁻¹; S - площадь кристалла, см²; d_1 - толщина эбонитовой оболочки, см; d_2 - толщина кристалла, см.

Выполнив интегрирование в (1) и заменив I_0 его выражением через дозу в воздухе $I_0 = \frac{D_B}{\gamma_{mb}}$, где D_B - доза в воздухе, эрг/г; γ_{mb} - массовый коэффициент поглощения энергии в воздухе, получим:

$$\Delta E = \frac{\gamma_2}{\gamma_{mb}} \cdot S d_2 D_B e^{-\mu_1 d_1} \frac{1 - e^{-\mu_2 d_2}}{\mu_2 d_2} \quad (2)$$

Деля обе части равенства (2) на $\rho_2 S d_2 D_B$, где ρ_2 - плотность кристалла, получим

$$\frac{\bar{D}_2}{D_B} = \frac{\gamma_{mb}}{\gamma_2} e^{-\mu_1 d_1} \frac{1 - e^{-\mu_2 d_2}}{\mu_2 d_2}, \quad (3)$$

Таблица 1

E Мэв	Комп. рассеян. барн молек.	Фотоэф- фект барн молек.	Образо- вание пар барн молек.	Коэф.погл. без когер. расс. см ² /г.	Коэф.погл. энергии см ² /г.
0,010	7,68	236,3	-	5,66	5,48
0,015	7,55	66,3	-	1,715	1,54
0,020	7,42	26,6	-	0,780	0,623
0,030	7,16	7,23	-	0,334	0,176
0,040	6,94	2,71	-	0,224	0,0736
0,050	6,73	1,254	-	0,185	0,0416
0,060	6,55	0,702	-	0,168	0,0304
0,080	6,20	0,28	-	0,1505	0,0235
0,100	5,91	0,13	-	0,140	0,0220
0,150	5,32	0,037	-	0,1244	0,0235
0,200	4,88	0,015	-	0,1137	0,0251
0,300	4,24	0,004	-	0,0986	0,0268
0,400	3,80	-	-	0,0882	0,0273
0,50	3,47	-	-	0,0805	0,0275
0,60	3,21	-	-	0,0745	0,0274
0,80	2,82	-	-	0,0655	0,0267
1,00	2,53	-	-	0,0587	0,0258
1,5	2,06	-	0,0039	0,0479	0,0236
2,0	1,76	-	0,0155	0,0412	0,0218
3,0	1,38	-	0,0457	0,0332	0,0192
4,0	1,152	-	0,0772	0,0286	0,0176
5,0	0,994	-	0,103	0,0255	0,0164

Продолжение табл.1

E Мэв	Компт. рассеян. <u>барн</u> молек.	Фотоэф- фект <u>барн</u> молек.	Образо- вание пар <u>барн</u> молек.	Коэф.погл. без когер. расс. <u>барн</u> молек.	Коэф.погл. энергии <u>см</u> ² /г.
6,0	0,878	-	0,128	0,0234	0,0156
8,0	0,719	-	0,168	0,0206	0,0145
10,0	0,612	-	0,203	0,0190	0,0140
15	0,453	-	0,268	0,01675	-
20	0,363	-	0,317	0,0158	-
30	0,264	-	0,387	0,0151	-
40	0,210	-	0,436	0,0150	-
50	0,175	-	0,472	0,01504	-
60	0,1505	-	0,502	0,01517	-
80	0,1185	-	0,546	0,01544	-
100	0,0983	-	0,580	0,01578	-

$$10^{-24} \text{ см}^2/\text{молек} \times 0,02325 = \text{см}^2/\text{г.}$$

где $\bar{\gamma}_{m2} = \frac{\bar{\gamma}_2}{\rho_2}$; $\bar{D}_2 = \frac{\Delta E}{\rho_2 S d_2}$ - усредненная по объему кристалла доза.

Если сделать допущение, что световойход термолюминесценции не зависит от энергии вторичных электронов, то энергетическая зависимость показаний прибора (при постоянной дозе) с точностью до постоянного коэффициента будет определяться выражением (3). Результаты вычислений по формуле (3), нормированные на единицу при энергии 661 кэв, представлены на рис.2 (сплошная кривая). Теоретическая оценка энергетической зависимости для углов $\vartheta \neq 0$ затруднительна из-за сложности учета экранировки кристалла медной подложкой и из-за необходимости учёта многократного рассеяния квантов.

Экспериментальное исследование энергетической зависимости показаний дозиметров проводилось на рентгеновской установке с помощью нормальной камеры, а при энергии 661 кэв с помощью образцового источника цезия-137 третьего разряда. Величина эффективной энергии рентгеновского излучения регулировалась набором медных и алюминиевых фильтров и изменением величины ус-коряющего напряжения на трубке /3/. Величина слоя половинного ослабления контролировалась для каждой энергии экспериментально. Для исследования было взято 7 дозиметров из комплекта прибора ТДП-2 без специального отбора. Облучение дозиметров проводилось при нормальном падении квантов ($\vartheta=0$) и для угла $\vartheta = 90^\circ$. Результаты измерений, нормированные на единицу при энергии 661 кэв и $\vartheta = 0^\circ$, представлены на рис.2.

Более плавное расположение экспериментальных точек при $\vartheta = 0$ по сравнению с теоретической кривой отчасти объясняется использованием в эксперименте немоноэнергетического рентгеновского излучения. Уменьшение чувствительности дозиметра при облучении под углом 90° объясняется влиянием экранировки кристалла медной подложкой и поглощением излучения в кристалле.

При практическом использовании дозиметров большое значение имеет знание величины регрессии запасенной светосуммы в зависимости от времени и температуры хранения после облучения.

Экспериментальное изучение этой зависимости проводилось следующим образом. Одиннадцать дозиметров ТДП-2 облучались на градуировочном круге источником кобальта-60 в течение 3-х часов на различных расстояниях, так что дозы, полученные различными дозиметрами, изменялись в интервале от 80 мр до 10р. После облучения дозиметры помещались в термостат, в котором температура поддерживалась на заданном уровне с точностью до $0,5^\circ\text{C}$. Вместе с облученными дозиметрами в термостат помещался один необлученный контрольный экземпляр. По окончании срока хранения производился обмер дозиметров на приборе и сразу же после этого проводилось контрольное облучение всех дозиметров прежними дозами с последующим обмером. Промежуток времени от середины контрольного облучения до контрольного обмера составлял около 2-х часов. Для уменьшения ошибок градуировки контрольные и рабочие измерения выполнялись на одинаковых диапазонах. После окончания контрольных измерений для каждого дозиметра вычислялась доля сохранившейся светосуммы, т.е. отношение показания дозиметра после хранения к по-

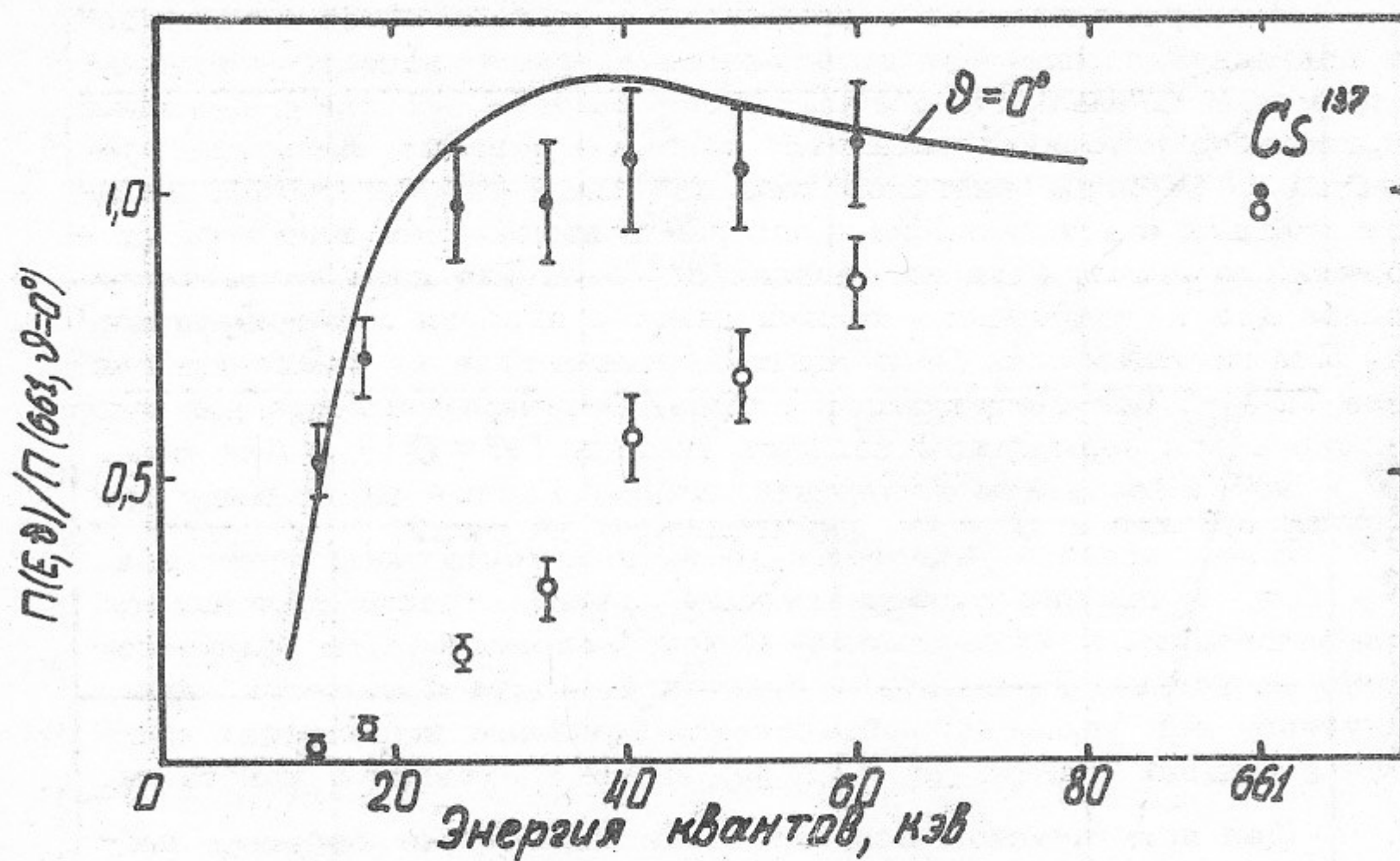


Рис.2. Энергетическая зависимость показаний дозиметров ТДП-2 (нормированная на единицу при энергии 661 кэв и $\varphi = 0$). Сплошная кривая - расчёт по формуле (3); • - экспериментальные данные для нормального падения пучка ($\varphi = 0$); ○ - экспериментальные данные для $\varphi = 90^\circ$.

казанию при контрольном измерении. В изученном диапазоне доз не обнаружилось какой-либо систематической зависимости между дозой облучения и относительной величиной регрессии, поэтому при окончательной обработке данных с целью улучшения точности производилось вычисление средневзвешенной доли сохранившейся светосуммы с использованием результатов, полученных при различных дозах облучения. Эксперименты проведены при температурах хранения $19,4^\circ$, 30° и 40°C . Результаты представлены на рис.3. Уменьшение светосуммы во времени носит в целом экспоненциальный характер с очень сильной зависимостью времени жизни от температуры. При малых временах хранения обнаруживается присутствие более короткоживущего компонента.

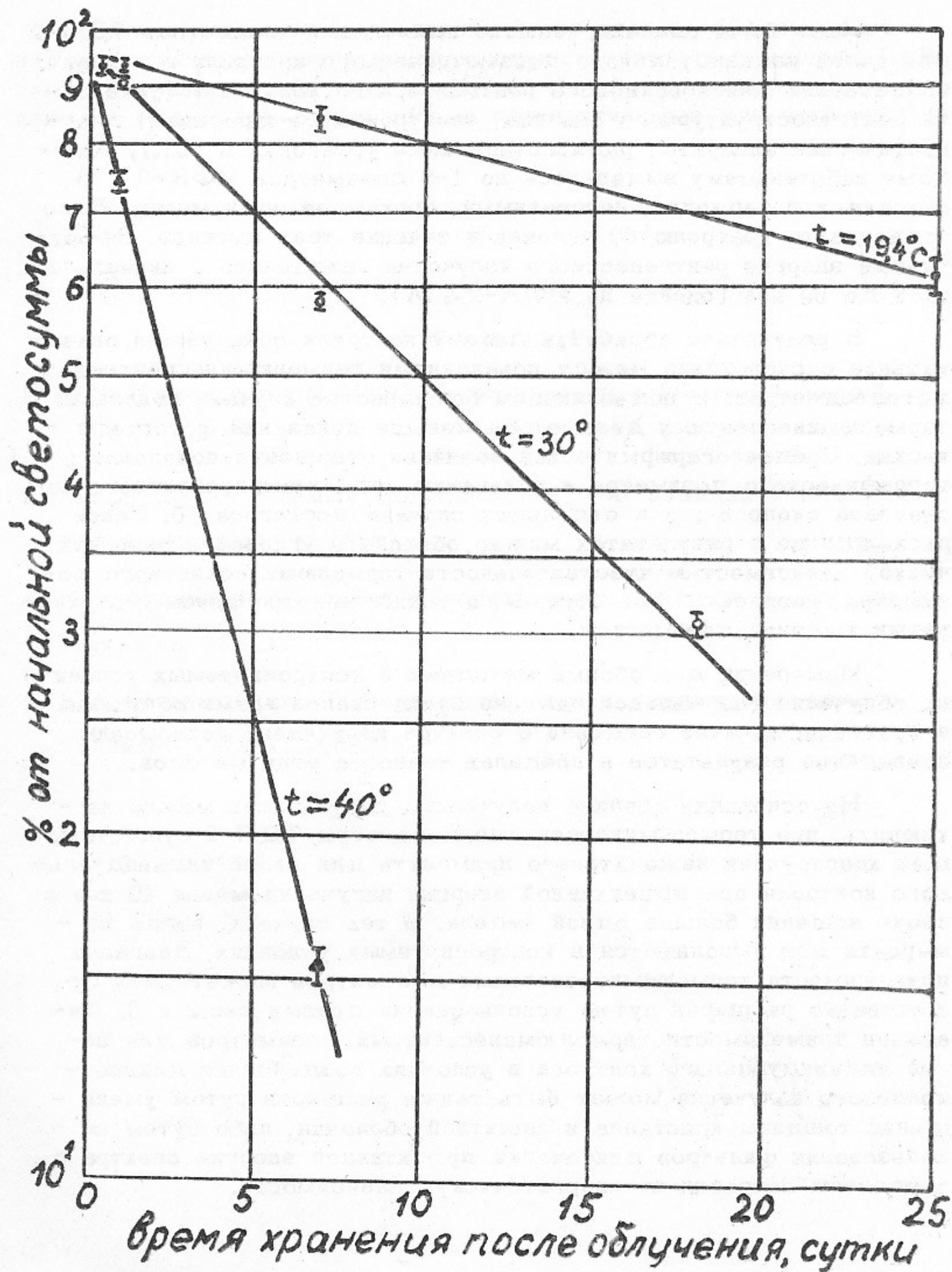


Рис.3. Спадание светосуммы в зависимости от времени и температуры хранения после облучения.

Нами была сделана попытка применения дозиметров ТДП-2 для целей индивидуального дозиметрического контроля в условиях воздействия длинноволнового рентгеновского излучения (установки рентгеноструктурного анализа, электронные микроскопы, диагностические аппараты, радиолокационные установки и т.д.). Каждому работающему выдавалось по 1-5 дозиметров ИФК-2,3 М, спаренных с термolumинесцентными, сроком на один месяц. Было подвергнуто контролю 60 человек в течение трех месяцев. Эффективные энергии рентгеновского излучения находились в интервале от 8 до 60 кэв (оценка по ИФК-2,3 М).

В результате обработки данных контроля обнаружено значительное расхождение между показаниями термolumинесцентных и фотодозиметров. В подавляющем большинстве случаев показания термolumинесцентных дозиметров меньше показаний фотографических. Среднелогарифмическая величина отношения показания фотографического дозиметра к показанию термolumинесцентного составляла около 3 ; а в отдельных случаях достигала 10. Такое расхождение в результатах можно объяснить угловой и энергетической зависимостью чувствительности термolumинесцентного дозиметра, регрессией светосуммы, а также неконтролируемыми условиями ношения дозиметров.

Измерения доз обоими методами в контролируемых условиях облучения (нормальное падение пучка, малое время облучения и хранения, наличие сведений о спектре излучения) показывают совпадение результатов в пределах точности этих методов.

На основании анализа полученных результатов можно заключить, что термolumинесцентные дозиметры ТДП-2 существующей конструкции нежелательно применять для целей индивидуального контроля при эффективной энергии излучения менее 40 кэв и сроке ношения больше одной недели. В тех случаях, когда измерения доз выполняются в контролируемых условиях, диапазон применимости термolumинесцентных дозиметров может быть существенно расширен путем использования данных рис.2 и 3. Диапазон применимости термolumинесцентных дозиметров для целей индивидуального контроля в условиях воздействия длинноволнового излучения может быть также расширен путем уменьшения толщины кристалла и защитной оболочки, либо путем использования фильтров для оценки эффективной энергии спектра с введением поправки на энергетическую зависимость.

В настоящее время актуальной является проблема измерения доз длинноволнового рентгеновского излучения в мощных СВЧ-полях. На наш взгляд, при известной доработке термolumинесцентные дозиметры будут весьма перспективными для этой цели.

Л и т е р а т у р а

1. К.М.Куделин и др. Атомная энергия, том 26, вып.4, апрель, 1969.
2. Альфа-бета- и гамма-спектроскопия, под редакцией К.Зигбана, вып.1, Атомиздат, 1969.
3. К.К.Аглинцев Дозиметрия ионизирующих излучений, Гостехиздат, М., 1957.
4. К.К.Шварц и др.. Термolumинесцентная дозиметрия, изд. "Зинатне", Рига, 1968.

Ответственный за выпуск В.Я.Чудаев
Подписано к печати 29. VI. 70г.
Усл. 0.6 печ.л., тираж 150 экз. Бесплатно.
Заказ № 54 . ПРЕПРИНТ.

Отпечатано на ротапринте в ИЯФ СО АН СССР, нв.